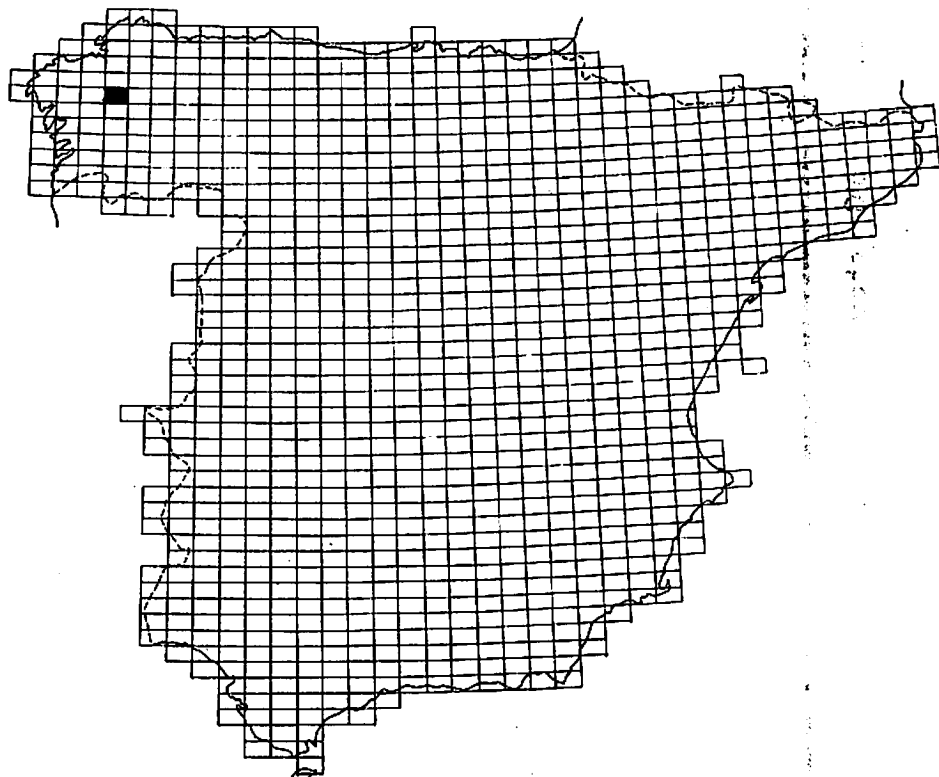


GEOTEHIC S.A.
INGENIEROS CONSULTORES

MAPA GEOLOGICO NACIONAL
Escala 1:50.000
MAGNA



DOCUMENTACION COMPLEMENTARIA
HOJA 06-07 ARZUA FOTOGRAFIAS

GEOTEHIC
Ingenieros Consultores

Ref.
MAGNA

D O C U M E N T A C I O N

C O M P L E M E N T A R I A

HOJA 06 - 07

ARZUA

FOTOGRAFIAS



Foto 1 – Zona de mezcla tectonica, se observan bolas de peridotitas entre las anfibolitas en capas. Hecho posiblemente achacable a una Fase de cabalgamientos Pre Hercinicos (241 150 – 925 860) (AI-460)



Foto 10.— Pliegue de Fase III en las peridotitas bandeadas en las proximidades de Belmil (241 150 – 925 860) (AI—471)

Fotos 11 y 12.— Mismo pliegue que foto 7 visto desde otro punto de vista y en relieve (AI-470)

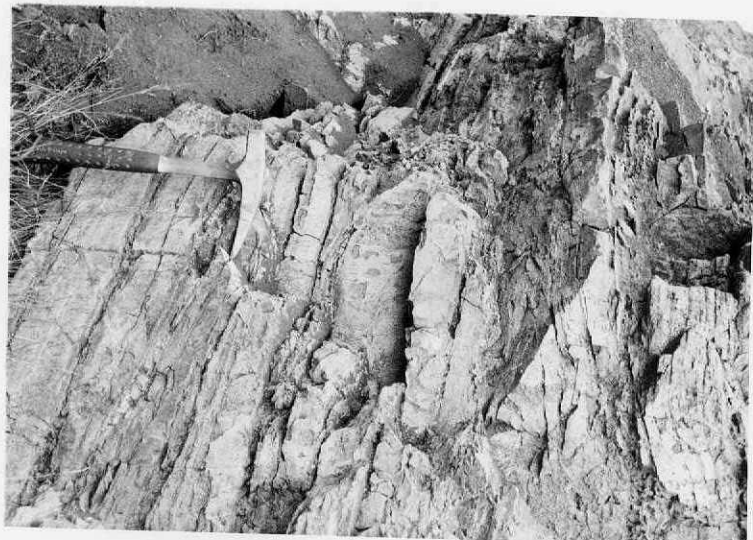


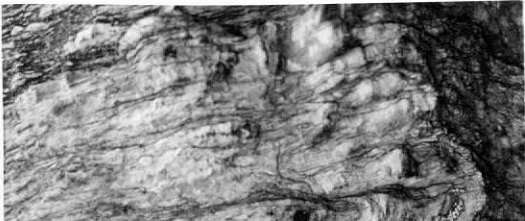


Foto 13 – Pliegue de Fase III en unos esquistos cuarcíticos de la serie de Ordenes. Son pliegues de ejes curvos. (AI-472)





Foto 14.— Pliegue de Fase III con una esquistosidad de fractura muy desarrollada. (AI-473)



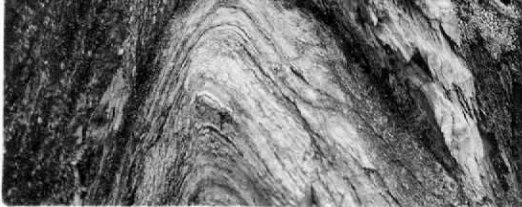


Foto 15.— Foto de detalle de una charnela de Fase III donde se observa la esquistosidad de fractura fuertemente desarrollada (AI-474)



Foto 16.— Pliegue de Fase IV en los gneises con distena en el camino entre Agra y Sejo (AI-475)

Foto 17.—

Pliegue de Fase IV en los gneises con distena en el camino entre Agra y Sejo (AI-476)





Foto 18.—Aspecto del ortoneis de sobrado en las proximidades de Filgueira (AI-477)

Foto 19.-

Aspecto de detalle del Ortoneis de sobrado en las proximidades de Figueira (AI-478)

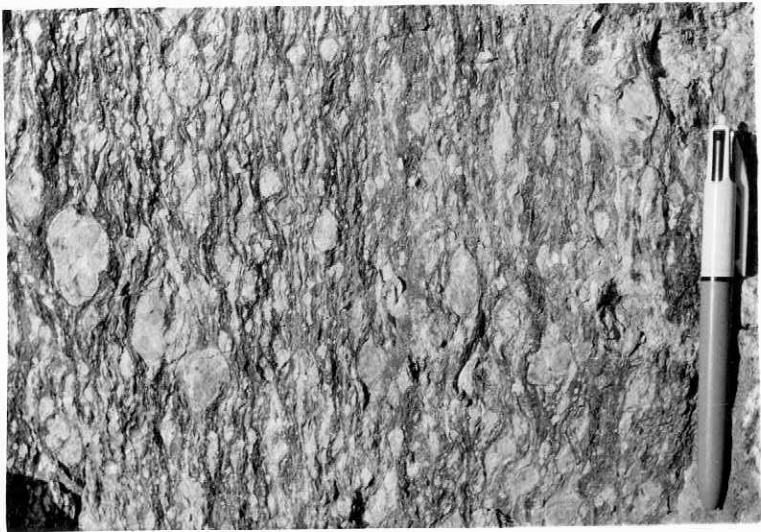




Foto 20.— Bolos de cuarzo lechoso dispersos por la zona, procedente de los diques que la cruzan (AH – 2027).



Foto 2.— Zona de mezcla tectonica, se observan bolas de peridotitas entre las anfibolitas en capas. Hecho posiblemente achacable a una Fase de cabalgamientos Pre Hercinicos (241 150 — 925 860) (AI-461)



Foto 21.— Panorámica del Embalse de Porto do Mouros Morfología de la "Serie de Ordenes".

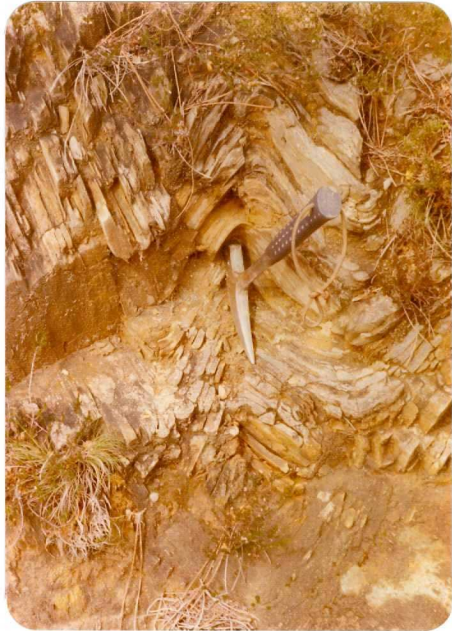


Foto 22.— Pliegues en los esquistos de Ordenes de la Cra Santiago—Lago, a la altura del P.K. 572,8 (AH — 2030)

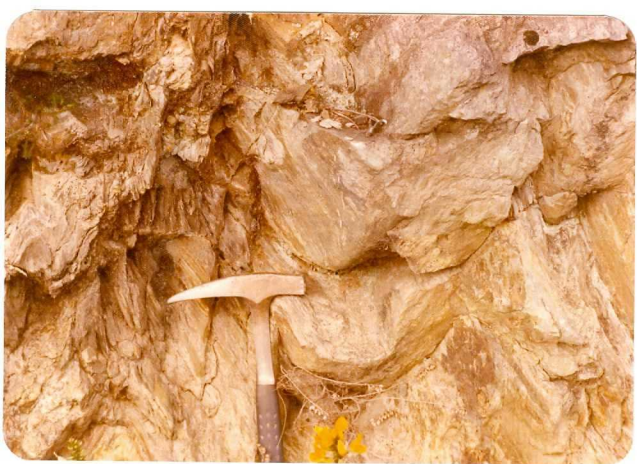


Foto 23.— Detalle de los repliegues de la estación AH-2030 en los “esquistos de Ordenes”.

Foto 24.— Otro aspecto de los pliegues citados en las fotografías anteriores (AH — 2030)

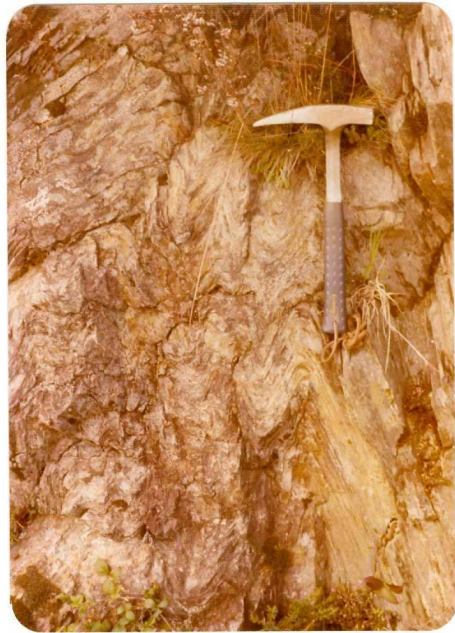




Foto 25.— Detalle de la constitución y potencia de los coluviones apoyados sobre la serie de Ordenes, cerca del contacto con el ortogneis de S. Miguel (AH - 2034)



Foto 26.— Detalle de la zona de charnuela en un pliegue tardío de la anfibolita "flocons". (AH - 2047)



Foto 27.— "Serie de Ordenes" en zona de fractura, con abundantes pliegues tardíos y "king-bands" frecuentes. (AH — 2067).

Foto 28.— Pliegues cilíndricos y "Ring-bands".
"Serie de Ordenes" (AH — 2067)

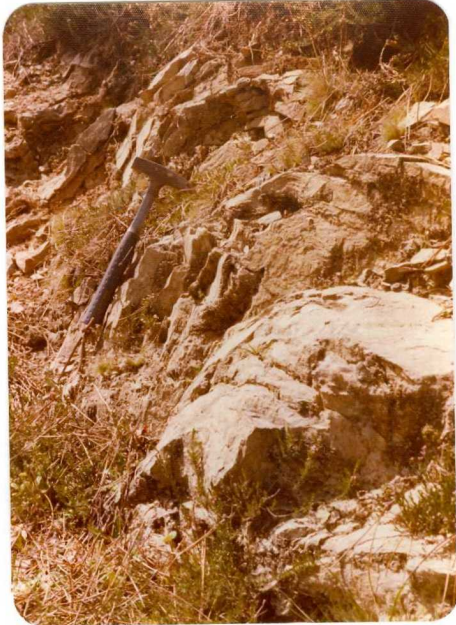




Foto 29.— Detalle de los pliegues comentados en la foto anterior (AH – 2067)

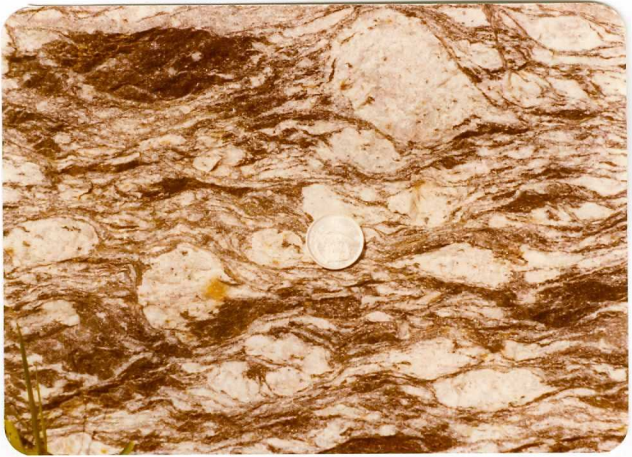


Foto 30.— Detalle de la textura y aspecto del ortogneis de Mellid (AH – 2092)

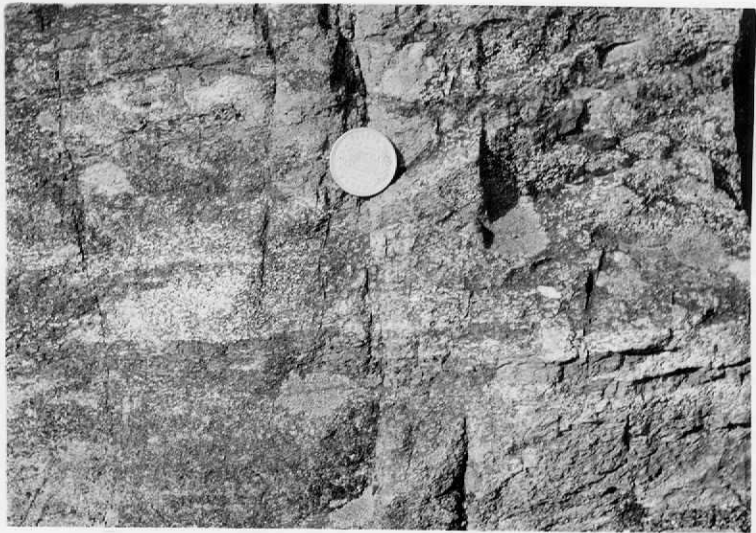


Foto 3.— Pliegue de Fase II en las anfibolitas en capas en las proximidades de Vilasoa (AI-462)



Foto 31.— Frente de explotación abandonado en la ortogneis de Ribadulla (AH – 2015)



Foto 4.— Pliegue de Fase II en las anfibolitas en capas en las proximidades de Vilasoa. (AI—463)



Foto 5.— Pliegue de Fase III en las anfibolitas en capas, en los proximidades de Vilasoa (AI-464)



Foto 6.— Pliegue de Fase III en las anfibolitas en capas, en las proximidades de Vilasoa. (AI-465)

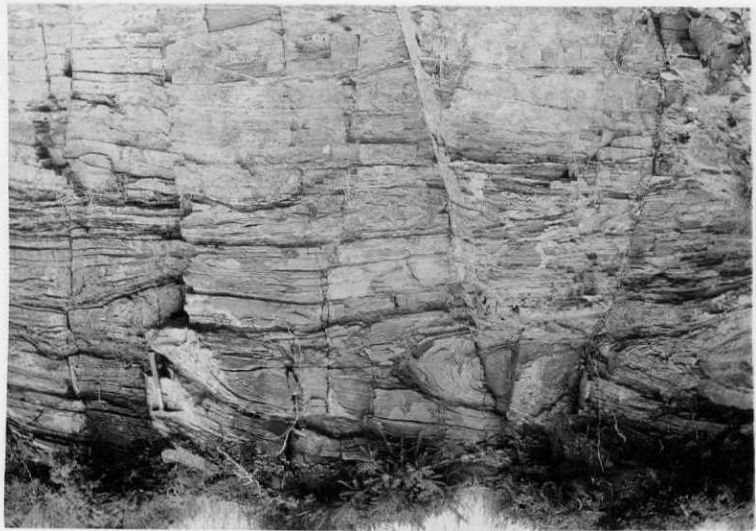


Foto 7.— Pliegue de Fase III en las peridotitas bandeadas Cantera en el Km 7,200 de la Carretera Mellid a Lalín (AI-466)

Foto 8.— Aspecto de detalle del mismo pliegue (AI-467)

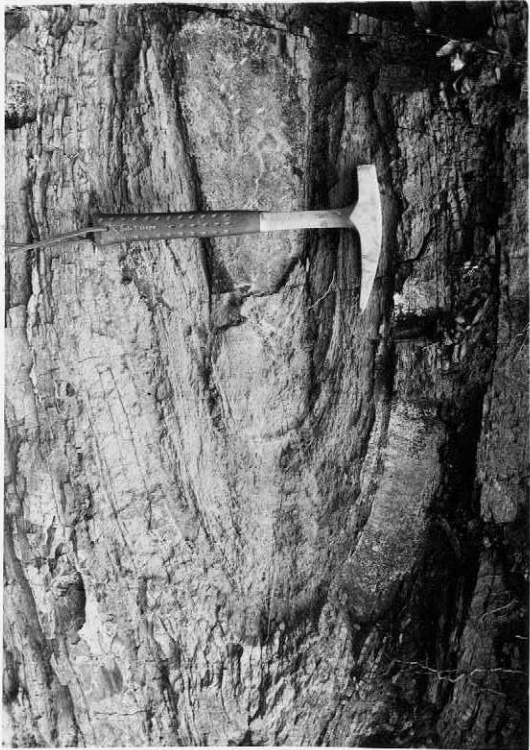


Foto 9.— Aspecto de detalle del mismo pliegue (AI-468)

